

INTEN-IG

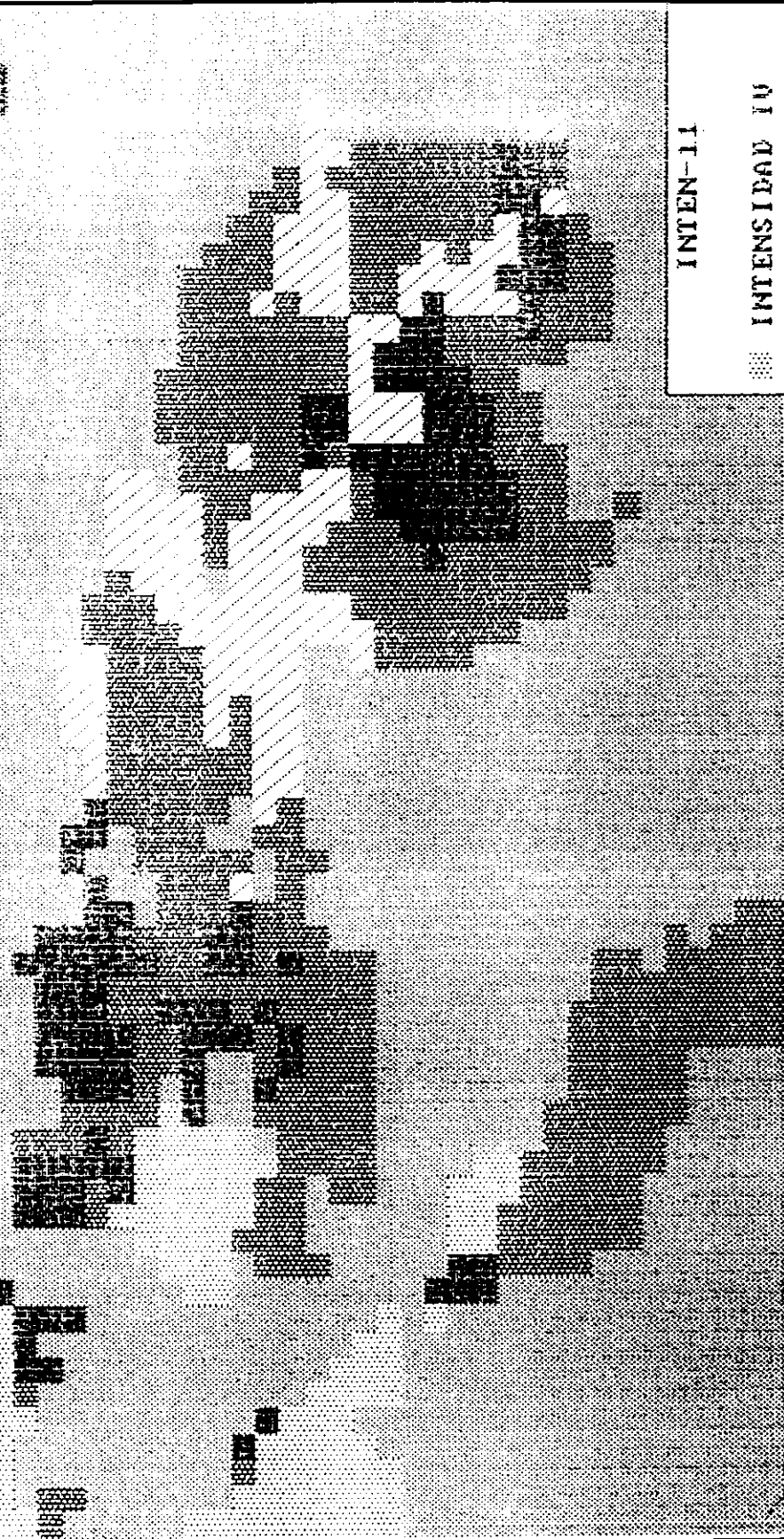
- INTENSIDAD I
- INTENSIDAD II
- INTENSIDAD III
- INTENSIDAD IV

MAPA V-10. Simulación de intensidades para el segmento de falla OROSI 5. Considerando aluvión no saturado.
FUENTE: Elaborado por Montero, C. y González, V.

1985

1985

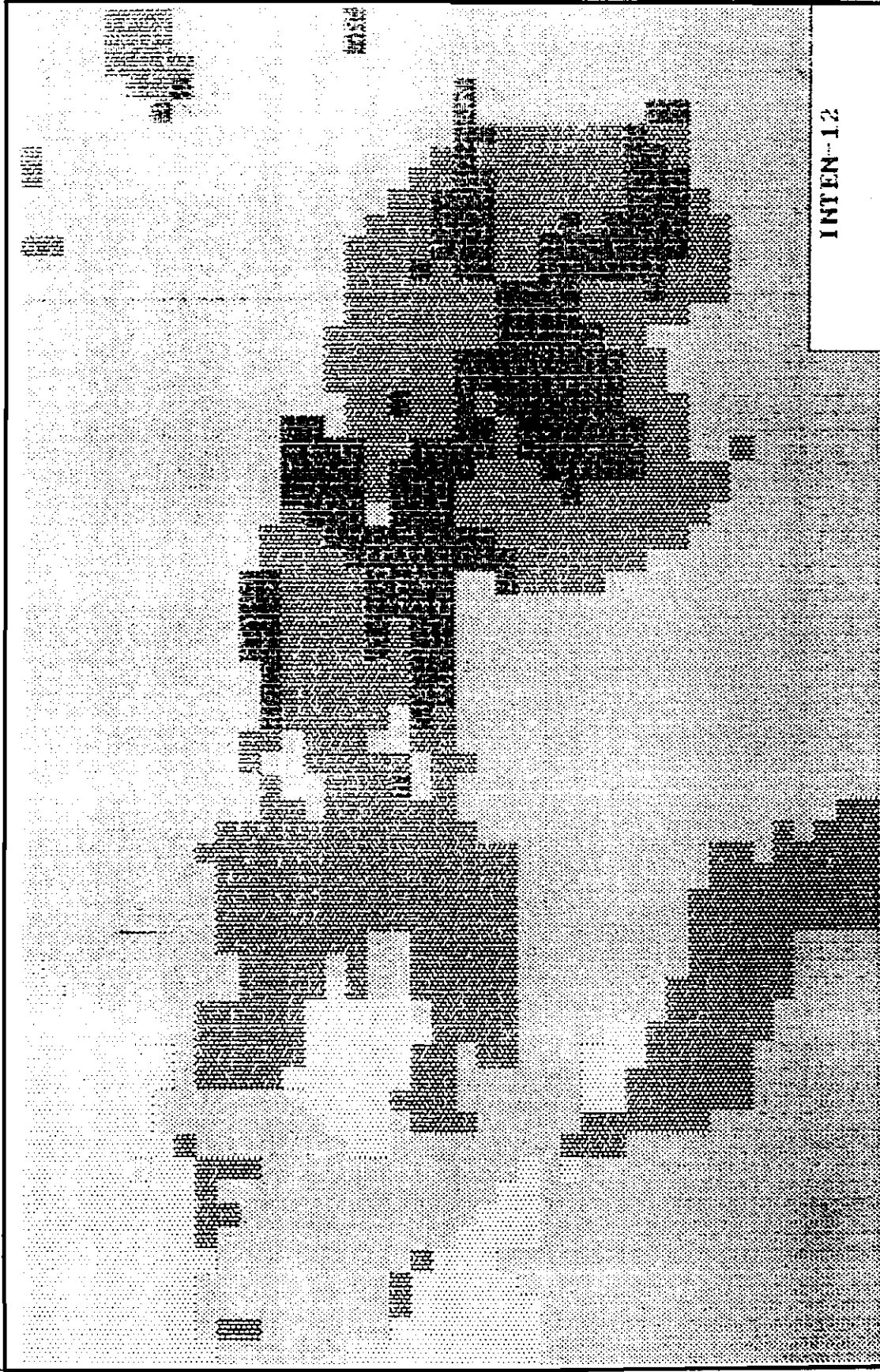
1985



INTEN-11

- INTENSIDAD IV
- INTENSIDAD V
- INTENSIDAD VI
- INTENSIDAD VII
- INTENSIDAD VIII

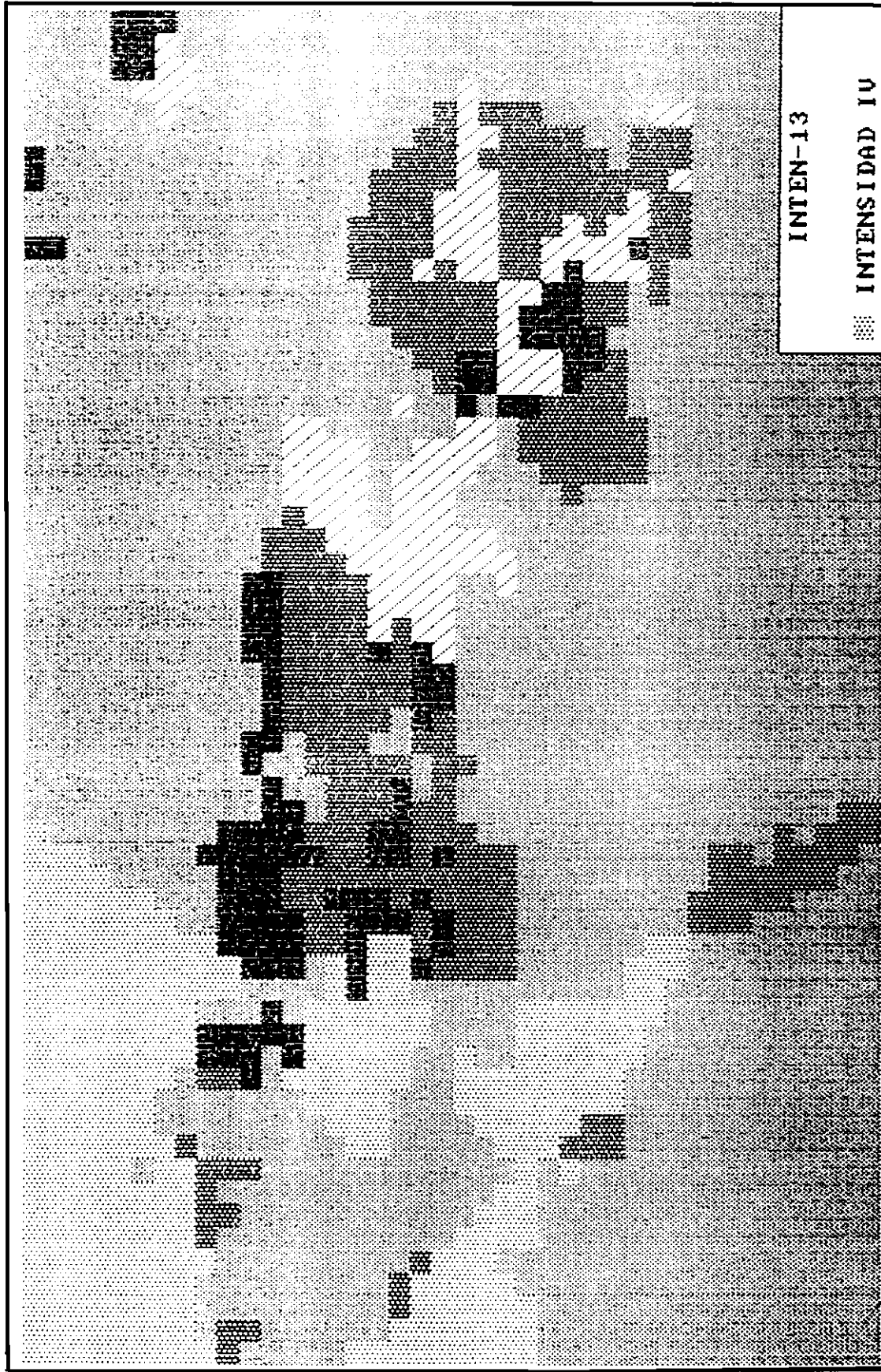
MAPA V-11. Simulación de intensidades para el segmento de falla NAVARRO 1. Considerando afluencia saturada.
FUENTE: Elaborado por Montero, C. y González, V.



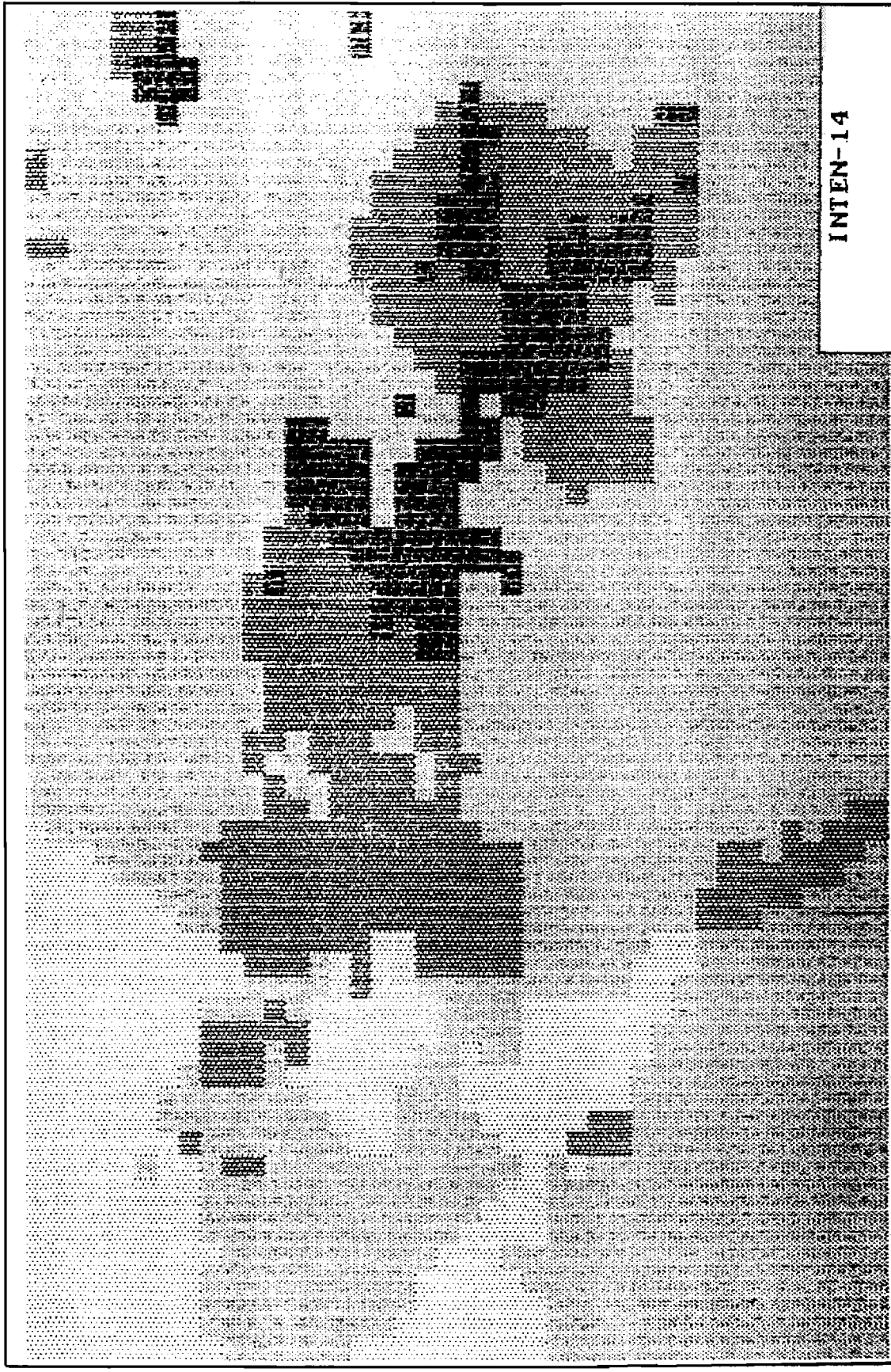
INTEN-12

- INTENSIDAD IV
- INTENSIDAD V
- INTENSIDAD VI
- INTENSIDAD VII

MAPA V-12. Simulación de intensidades para el segmento de falla NAVARRO 1. Considerando afluencia no saturada.
FUENTE: Elaborado por Montero, C. y González, V.



MAPA V-13. Simulación de intensidades para el segmento de falla NAYARRO 2. Considerando aluvión saturado.
FUENTE: Elaborado por Montero, C. y González, V.



INTEN-14

- INTENSIDAD IV
- INTENSIDAD V
- INTENSIDAD VI
- INTENSIDAD VII

MAPA V-14. Simulación de intensidades para el segmento de falla NAVARRO 2. Considerando aluvión no saturado.
FUENTE: Elaborado por Montero, C. y González, V.